

Уравнения математической физики

3 курс ФПМИ

слайды для лекций

Персова М.Г., д.т.н., проф.,
Патрушев И.И., асс.

Лекция №2

Решение нелинейных задач. Метод Ньютона.

Нелинейные задачи

Нелинейными называются такие дифференциально-краевые задачи, у которых параметры дифференциального уравнения или краевые условия зависят от решения.

$$\underbrace{-\operatorname{div}}(\underbrace{\lambda(u)}_{\text{нелинейность}} \underbrace{\operatorname{grad} u}_{\text{нелинейность}}) + \underbrace{\gamma(u)}_{\text{нелинейность}} u = \underbrace{f(u)}_{\text{нелинейность}} \quad \xrightarrow{\text{МКЭ}} \quad \mathbf{A}(\mathbf{q})\mathbf{q} = \mathbf{b}(\mathbf{q})$$

$$\lambda \frac{\partial u}{\partial n} \Big|_{S_2} = \underbrace{\theta(u)}_{\text{нелинейность}}$$

$$\lambda \frac{\partial u}{\partial n} \Big|_{S_3} + \underbrace{\beta(u)}_{\text{нелинейность}} (u|_{S_3} - u_\beta) = 0$$

$$u^h = \sum_{j=1}^N q_j \psi_j = \mathbf{q}^T \boldsymbol{\psi}$$

Как решать такую задачу?

- Метод простых итераций
- Метод Ньютона

Нелинейные задачи

Пример:

$$-\operatorname{div}\left(\lambda\left(\frac{\partial u}{\partial x}\right)\operatorname{grad} u\right)+\gamma u=f$$

$$\lambda=\lambda\left(\frac{\partial u}{\partial x}\right) \text { - аналитическая зависимость}$$

$$\lambda=\sum_k \lambda_k \psi_k$$

$$\lambda_k=\lambda\left(\sum_j q_j \frac{\partial \psi_j}{\partial x}\right)_{x=x_k}$$

$$\sum_{j=1}^N\left(\int_{\Omega}\left(\sum_k \lambda_k \psi_k\right) \operatorname{grad} \psi_j \cdot \operatorname{grad} \psi_i d \Omega+\int_{\Omega} \gamma \psi_j \psi_i d \Omega\right) q_j=\int_{\Omega} f \psi_i d \Omega$$

$$\sum_{j=1}^N\left(\sum_k \lambda_k \int_{\Omega} \psi_k \operatorname{grad} \psi_j \cdot \operatorname{grad} \psi_i d \Omega+\int_{\Omega} \gamma \psi_j \psi_i d \Omega\right) q_j=\int_{\Omega} f \psi_i d \Omega$$

$$u^h=\sum_{j=1}^N q_j \psi_j$$

$$\frac{\partial u^h}{\partial x}=\sum_{j=1}^N q_j \frac{\partial \psi_j}{\partial x}$$

$$\mathbf{A}(\mathbf{q}) \mathbf{q}=\mathbf{b}$$

Метод простых итераций

$\mathbf{q}^{(0)}$ - начальное приближение

$$\mathbf{A}(\mathbf{q}^{(0)})\mathbf{q}^{(1)} = \mathbf{b}$$

$$\mathbf{A}(\mathbf{q}^{(1)})\mathbf{q}^{(2)} = \mathbf{b}$$

...

$$\mathbf{A}(\mathbf{q}^{(k-1)})\mathbf{q}^{(k)} = \mathbf{b}$$

Останов итерационного процесса:

$$\frac{\|\mathbf{A}(\mathbf{q}^{(k)})\mathbf{q}^{(k)} - \mathbf{b}\|}{\|\mathbf{b}\|} < \varepsilon$$

Метод Ньютона

Метод Ньютона основан на линеаризации нелинейных уравнений системы $\mathbf{A}(\mathbf{q})\mathbf{q} = \mathbf{b}(\mathbf{q})$ с использованием разложения в ряд Тейлора.

Пусть \mathbf{q}^0 - решение на предыдущей итерации по нелинейности.

Разложим нелинейные компоненты матрицы в окрестности точки \mathbf{q}^0 :

$$A_{ij}(\mathbf{q})q_j \approx A_{ij}(\mathbf{q}^0)q_j^0 + \sum_r \left. \frac{\partial(A_{ij}(\mathbf{q})q_j)}{\partial q_r} \right|_{\mathbf{q}=\mathbf{q}^0} (q_r - q_r^0),$$

и нелинейные компоненты вектора правой части

$$b_i(\mathbf{q}) \approx b_i(\mathbf{q}^0) + \sum_r \left. \frac{\partial b_i(\mathbf{q})}{\partial q_r} \right|_{\mathbf{q}=\mathbf{q}^0} (q_r - q_r^0).$$

В результате линеаризации получаем: $\mathbf{A}^L \mathbf{q} = \mathbf{b}^L$ *Линеаризованная по методу Ньютона КЭ-СЛАУ*

Линеаризация

Программно линеаризацию удобнее производить на уровне локальных матриц и векторов.

$$\hat{A}_{ij}(\hat{\mathbf{q}})\hat{q}_j \approx \hat{A}_{ij}(\hat{\mathbf{q}}^0)\hat{q}_j^0 + \sum_{r=1}^{\hat{n}} \frac{\partial(\hat{A}_{ij}(\hat{\mathbf{q}})\hat{q}_j)}{\partial \hat{q}_r} \bigg|_{\hat{\mathbf{q}}=\hat{\mathbf{q}}^0} (\hat{q}_r - \hat{q}_r^0) =$$

$\hat{\mathbf{q}}^0$ - значение $\hat{\mathbf{q}}$ на предыдущей итерации


$$= \hat{A}_{ij}(\hat{\mathbf{q}}^0)\hat{q}_j^0 + \sum_{\substack{r=1 \\ r \neq j}}^{\hat{n}} \frac{\partial \hat{A}_{ij}(\hat{\mathbf{q}})}{\partial \hat{q}_r} \bigg|_{\hat{\mathbf{q}}=\hat{\mathbf{q}}^0} \hat{q}_j^0 (\hat{q}_r - \hat{q}_r^0) +$$

$$+ \left\{ \hat{A}_{ij}(\hat{\mathbf{q}}^0) + \frac{\partial \hat{A}_{ij}(\hat{\mathbf{q}})}{\partial \hat{q}_j} \bigg|_{\hat{\mathbf{q}}=\hat{\mathbf{q}}^0} \hat{q}_j^0 \right\} (\hat{q}_j - \hat{q}_j^0) =$$


$$= \hat{A}_{ij}(\hat{\mathbf{q}}^0)\hat{q}_j + \sum_{r=1}^{\hat{n}} \frac{\partial \hat{A}_{ij}(\hat{\mathbf{q}})}{\partial \hat{q}_r} \bigg|_{\hat{\mathbf{q}}=\hat{\mathbf{q}}^0} \hat{q}_j^0 (\hat{q}_r - \hat{q}_r^0),$$

*Домашнее задание:
Разобраться*

Линеаризация

$$\hat{A}_{ij}(\hat{\mathbf{q}})\hat{q}_j \approx \hat{A}_{ij}(\hat{\mathbf{q}}^0)\hat{q}_j + \sum_{r=1}^{\hat{n}} \frac{\partial \hat{A}_{ij}(\hat{\mathbf{q}})}{\partial \hat{q}_r} \bigg|_{\hat{\mathbf{q}} = \hat{\mathbf{q}}^0} \hat{q}_j^0 (\hat{q}_r - \hat{q}_r^0),$$


Аналогично для вектора правой части:

$$\hat{b}_i(\hat{\mathbf{q}}) \approx \hat{b}_i(\hat{\mathbf{q}}^0) + \sum_{r=1}^{\hat{n}} \frac{\partial \hat{b}_i(\hat{\mathbf{q}})}{\partial \hat{q}_r} \bigg|_{\hat{\mathbf{q}} = \hat{\mathbf{q}}^0} (\hat{q}_r - \hat{q}_r^0).$$


Линеаризация

$$\hat{A}_{ij}(\hat{\mathbf{q}})\hat{q}_j \approx \hat{A}_{ij}(\hat{\mathbf{q}}^0)\hat{q}_j + \sum_{r=1}^{\hat{n}} \frac{\partial \hat{A}_{ij}(\hat{\mathbf{q}})}{\partial \hat{q}_r} \bigg|_{\hat{\mathbf{q}} = \hat{\mathbf{q}}^0} \hat{q}_j^0 (\hat{q}_r - \hat{q}_r^0),$$



Даст добавку в
правую часть

Аналогично для вектора правой части:

$$\hat{b}_i(\hat{\mathbf{q}}) \approx \hat{b}_i(\hat{\mathbf{q}}^0) + \sum_{r=1}^{\hat{n}} \frac{\partial \hat{b}_i(\hat{\mathbf{q}})}{\partial \hat{q}_r} \bigg|_{\hat{\mathbf{q}} = \hat{\mathbf{q}}^0} (\hat{q}_r - \hat{q}_r^0).$$



Даст добавку в
матрицу

Линеаризованная система

$$\hat{A}_{ij}^L = \hat{A}_{ij}(\hat{\mathbf{q}}^0) + \sum_{r=1}^{\hat{n}} \left. \frac{\partial \hat{A}_{ir}(\hat{\mathbf{q}})}{\partial \hat{q}_j} \right|_{\hat{\mathbf{q}} = \hat{\mathbf{q}}^0} \hat{q}_r^0 - \left. \frac{\partial \hat{b}_i(\hat{\mathbf{q}})}{\partial \hat{q}_j} \right|_{\hat{\mathbf{q}} = \hat{\mathbf{q}}^0},$$

$$\hat{b}_i^L = \hat{b}_i(\hat{\mathbf{q}}^0) + \sum_{j=1}^{\hat{n}} \hat{q}_j^0 \sum_{r=1}^{\hat{n}} \left. \frac{\partial \hat{A}_{ij}(\hat{\mathbf{q}})}{\partial \hat{q}_r} \right|_{\hat{\mathbf{q}} = \hat{\mathbf{q}}^0} \hat{q}_r^0 - \sum_{r=1}^{\hat{n}} \left. \frac{\partial \hat{b}_i(\hat{\mathbf{q}})}{\partial \hat{q}_r} \right|_{\hat{\mathbf{q}} = \hat{\mathbf{q}}^0} \hat{q}_r^0.$$

Сам итерационный процесс аналогичен процессу из метода простой итерации, но при расчете невязки должны использоваться исходные нелинейные (а не линеаризованные) матрица и вектор правой части.

Сходимость метода

Вообще говоря, полученный на k -й итерации в результате решения линеаризованной системы вектор $\hat{\mathbf{q}}^{(k)}$ **не гарантирует** уменьшения невязки исходной нелинейной системы, вычисленной как

$$\left\| \mathbf{A}(\mathbf{q}^{(k)})\mathbf{q}^{(k)} - \mathbf{b}(\mathbf{q}^{(k)}) \right\|$$

по сравнению с

$$\left\| \mathbf{A}(\mathbf{q}^{(k-1)})\mathbf{q}^{(k-1)} - \mathbf{b}(\mathbf{q}^{(k-1)}) \right\|$$

Поэтому можно ограничить отход $\hat{\mathbf{q}}^{(k)}$ от $\hat{\mathbf{q}}^0 = \hat{\mathbf{q}}^{(k-1)}$ процедурой релаксации.

Сходимость метода

Линеаризованная система может перестать быть положительно определенной. Избежать этого можно введение коэффициента «демпфирования»:

$$\hat{A}_{ij}^L = \hat{A}_{ij}(\hat{\mathbf{q}}^0) + \nu \left(\sum_{r=1}^{\hat{n}} \frac{\partial \hat{A}_{ir}(\hat{\mathbf{q}})}{\partial \hat{q}_j} \bigg|_{\hat{\mathbf{q}} = \hat{\mathbf{q}}^0} \hat{q}_r^0 - \frac{\partial \hat{b}_i(\hat{\mathbf{q}})}{\partial \hat{q}_j} \bigg|_{\hat{\mathbf{q}} = \hat{\mathbf{q}}^0} \right),$$

$$\hat{b}_i^L = \hat{b}_i(\hat{\mathbf{q}}^0) + \nu \left(\sum_{j=1}^{\hat{n}} \hat{q}_j^0 \sum_{r=1}^{\hat{n}} \frac{\partial \hat{A}_{ir}(\hat{\mathbf{q}})}{\partial \hat{q}_r} \bigg|_{\hat{\mathbf{q}} = \hat{\mathbf{q}}^0} \hat{q}_r^0 - \sum_{r=1}^{\hat{n}} \frac{\partial \hat{b}_i(\hat{\mathbf{q}})}{\partial \hat{q}_r} \bigg|_{\hat{\mathbf{q}} = \hat{\mathbf{q}}^0} \hat{q}_r^0 \right).$$

Учебник: стр. 838-844 – разобрать пример!

Лекция №2

Понятие обратной задачи.

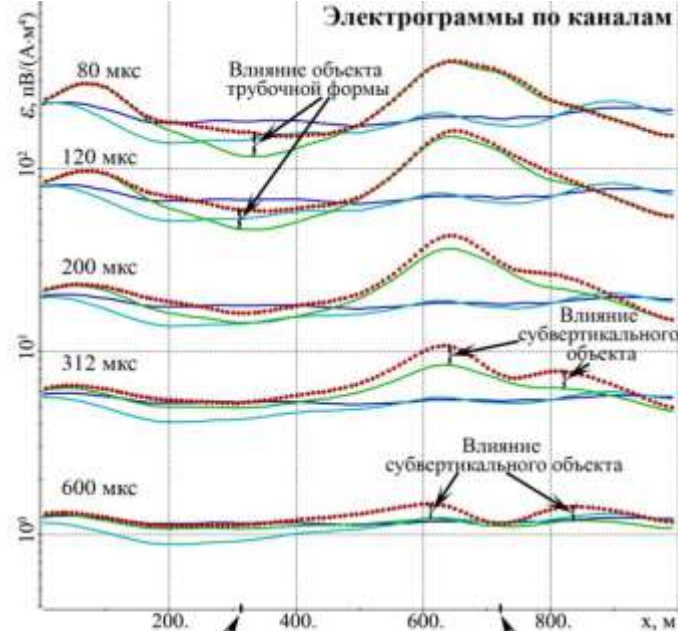
с примерами

Обратные задачи

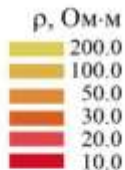
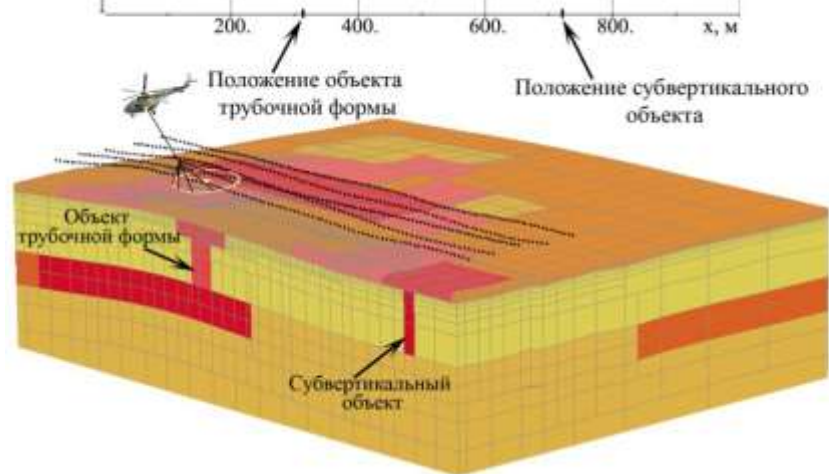
$$-\operatorname{div}(\underbrace{\lambda}_{\text{параметры}} \underbrace{\operatorname{grad} u}_{\text{Поле}}) + \underbrace{\gamma u}_{\text{Не известно}} = \underbrace{f}_{\text{известно}}$$

Обладают большим классом эквивалентности, то есть являются некорректными задачами.

Электrogramмы по каналам для:



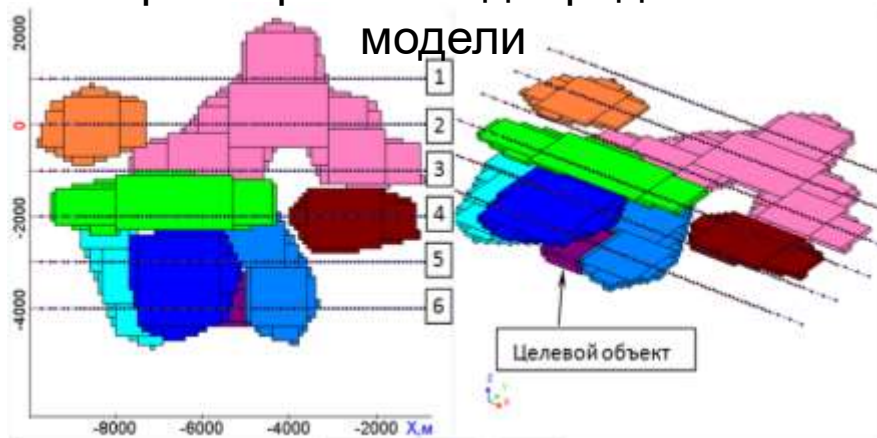
- - среды с рельефом, латерально неоднородными слоями с изогнутыми границами, с двумя целевыми объектами - трубчатой формы и субвертикальным
- - среды только без целевых объектов;
- - среды без целевых объектов и без латеральных неоднородностей в слоях (но с рельефом и с изогнутыми границами латерально однородных слоев)
- - горизонтально-слоистой (одномерной) среды без объектов, без рельефа и без латеральных неоднородностей в слоях с горизонтальными границами (изменения вдоль профиля вызваны только изменением высоты точек съемки на профиле)



Геофизические исследования
Что это?
Зачем они нужны?

В слоях присутствуют вариации удельного сопротивления и поляризуемости. Целевым (имитирующим ореол над залежью углеводородов) является поляризующийся объект, расположенный в пятом геоэлектрическом слое.

Трехмерные неоднородности модели

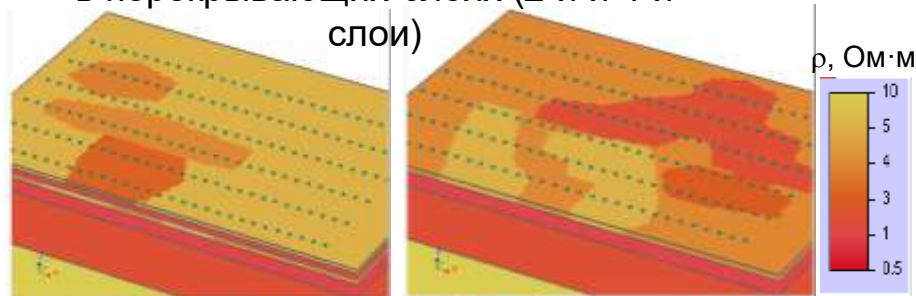


Вид сверху

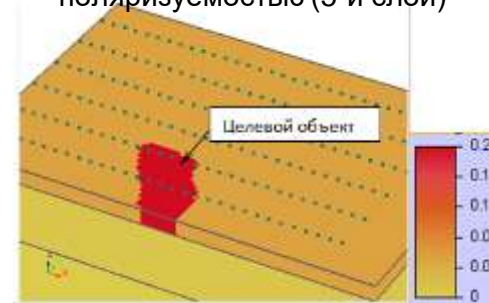
3D вид

Геоэлектрическая модель, выбранная для исследования

Распределение сопротивления в перекрывающихся слоях (2-й и 4-й слой)



Целевой объект с повышенной поляризуемостью (5-й слой)

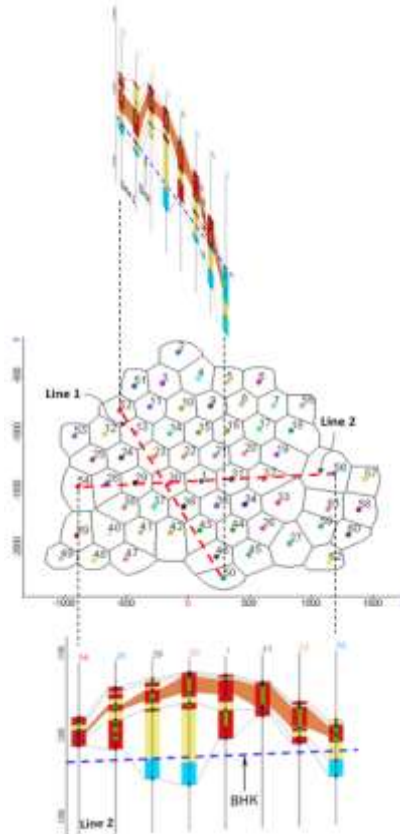


Подход к выполнению автоадаптации месторождений

Построение начальной гидродинамической модели выполняется автоматически на основе геолого-геофизических данных по скважинам.

В ходе автоадаптации в многослойных коллекторах определяются:

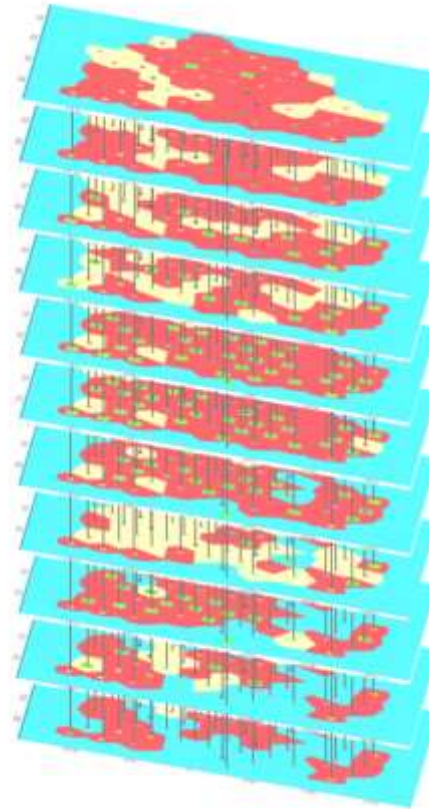
- распределения абсолютной проницаемости;
- распределения пористости;
- границы нефтенасыщенных зон;
- параметры фазовых проницаемостей;



Многослойная стартовая
гидродинамическая
модель

- нефтенасыщенные зоны
- водонасыщенные зоны
- зоны неколлектора
- зоны перфорации

Изгибы и толщины слоев
формируются на следующем
этапе по скважинным
данным

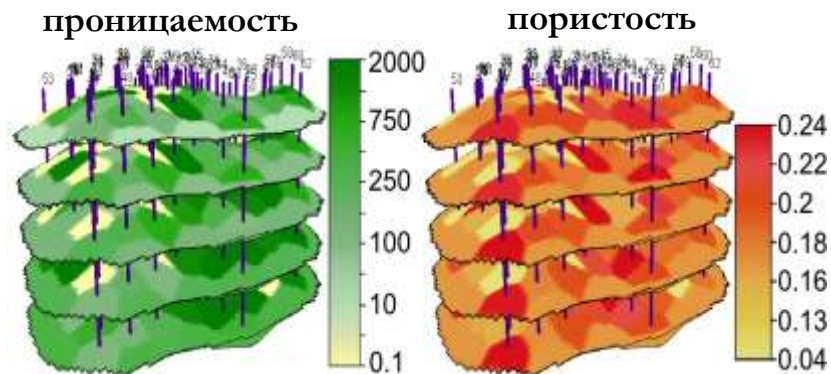


Примеры автоадаптаций, выполненных на месторождениях высоковязкой нефти в р. Татарстан

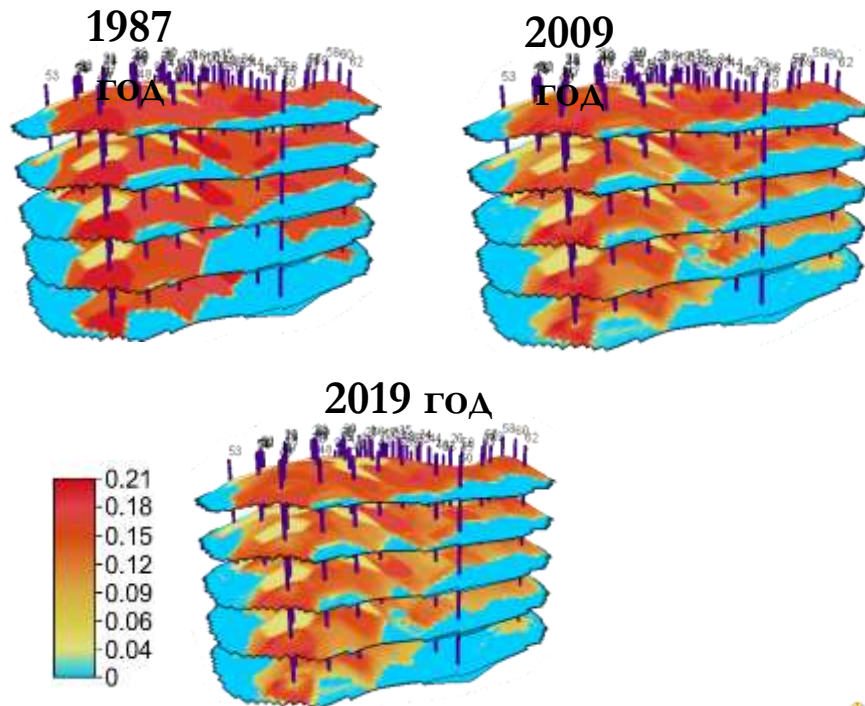
Схема вычислительных экспериментов:

- 1) Проведение автоматической адаптации по 2/3 времени жизни месторождения (на первом участке этот период составил 20 лет, а на втором – 12 лет);
- 2) Построение прогноза на оставшуюся 1/3 времени жизни месторождения;
- 3) Сравнение прогнозных значений с фактически наблюдаемыми.

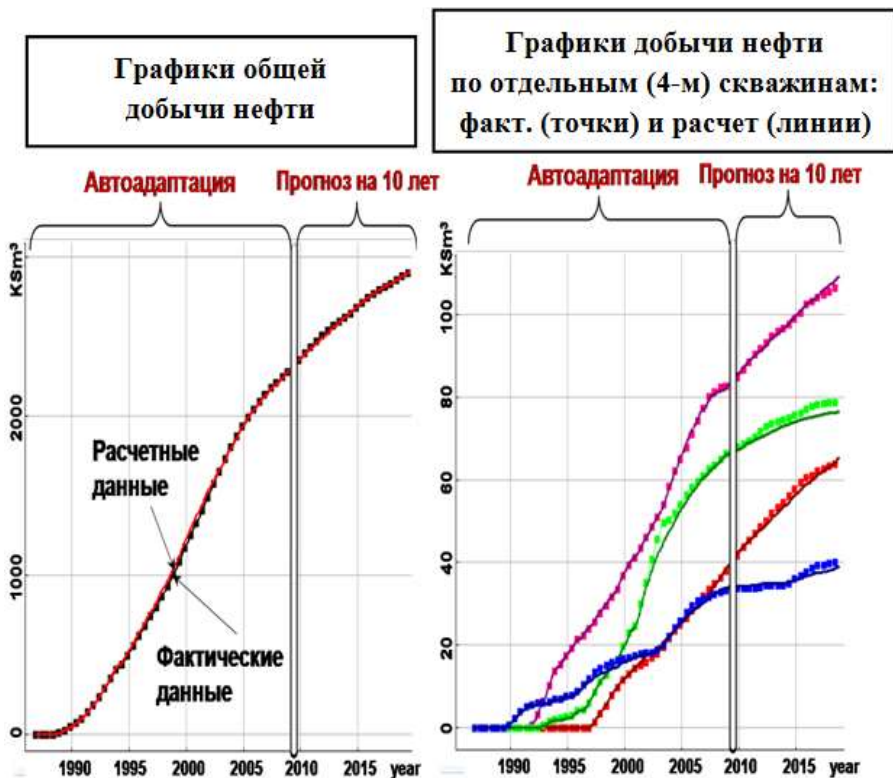
Полученные в результате автоадаaptации распределения свойств коллектора



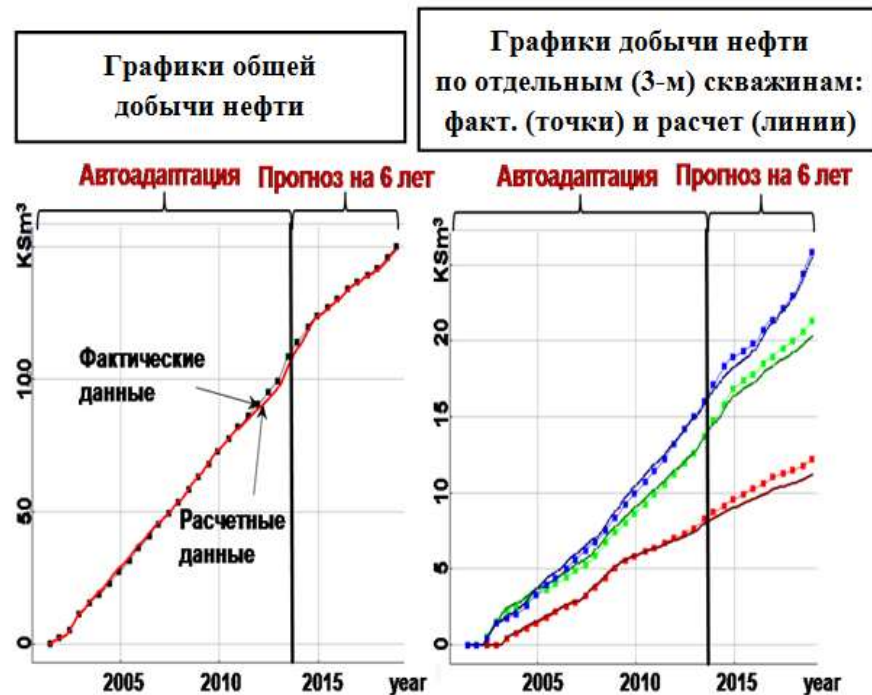
Полученная в результате автоадаптации и прогноза
заполненность объема коллектора нефтью:



Автоадаптация + прогноз на участке I



Автоадаптация + прогноз на участке II





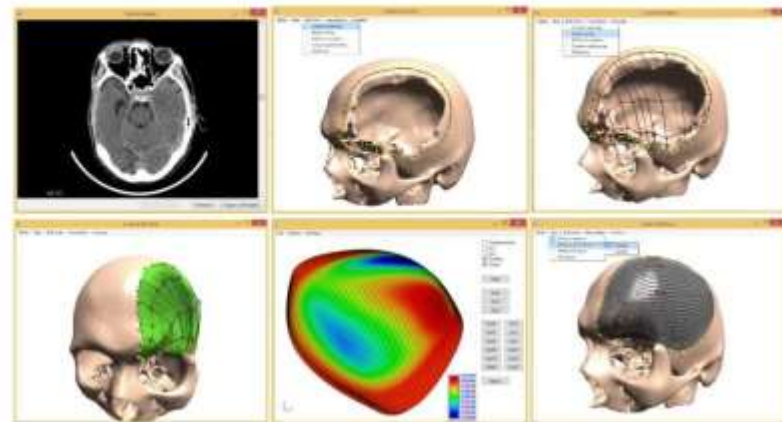
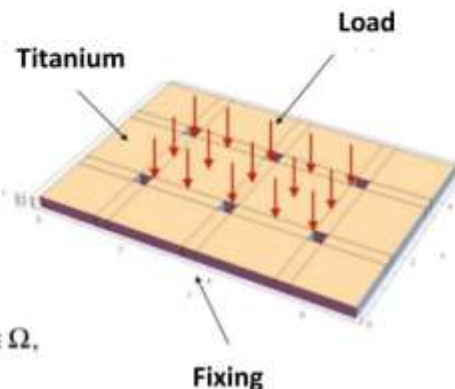
Optimizing titanium implant

Optimization problem:

$$\begin{cases} V(h,l) \rightarrow \min, \\ h_1 \leq h \leq h_2, l_1 \leq l \leq l_2, \\ \max_{(x,y,z) \in \Omega} |\delta u(x,y,z;h,l)| \leq u^0. \end{cases}$$

Implant elasticity model:

$$\begin{cases} (\lambda + \mu) \nabla \nabla \cdot \mathbf{u} + \mu \Delta \mathbf{u} + \mathbf{f} = 0, & (x,y,z) \in \Omega, \\ \Sigma \cdot \mathbf{n} = \mathbf{p}, & (x,y,z) \in \partial \Omega_\sigma, \\ \mathbf{u} = \bar{\mathbf{u}}, & (x,y,z) \in \partial \Omega_u. \end{cases}$$

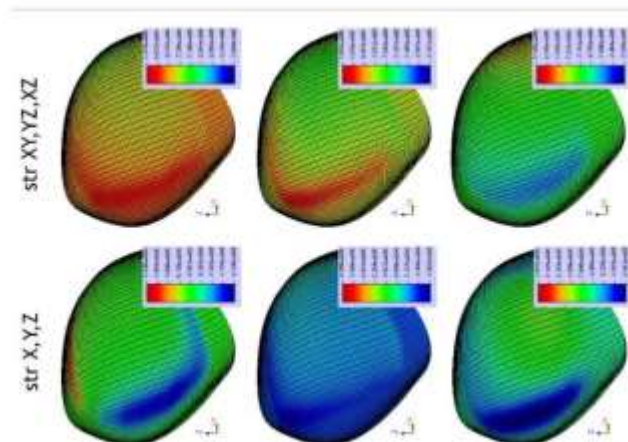


Variational formulation:

$$\int_{\Omega} (\lambda + \mu) \nabla \cdot \mathbf{u} \frac{\partial V_i}{\partial \xi_i} d\Omega + \int_{\Omega} \mu \nabla u_{\xi_i} \cdot \nabla V_i d\Omega = \int_{\Omega} f_{\xi_i} V_i d\Omega + \int_{S_0} p_{\xi_i} V_i dS \quad \forall V_i \in H_0^1, \xi_i = x, y, z$$

Finite element discretization:

$$\begin{aligned} \sum_{j=1}^n \int_{\Omega} \left[(\lambda + 2\mu) \frac{\partial \psi_j}{\partial \xi_1} \frac{\partial \psi_j}{\partial \xi_1} + \mu \left(\frac{\partial \psi_j}{\partial \xi_2} \frac{\partial \psi_j}{\partial \xi_2} + \frac{\partial \psi_j}{\partial \xi_3} \frac{\partial \psi_j}{\partial \xi_3} \right) \right] d\Omega \cdot q_j^{\xi_1} + \sum_{j=1}^n \int_{\Omega} \left(\lambda \frac{\partial \psi_j}{\partial \xi_2} \frac{\partial \psi_j}{\partial \xi_1} + \mu \frac{\partial \psi_j}{\partial \xi_2} \frac{\partial \psi_j}{\partial \xi_1} \right) d\Omega \cdot q_j^{\xi_2} + \\ + \sum_{j=1}^n \int_{\Omega} \left(\lambda \frac{\partial \psi_j}{\partial \xi_3} \frac{\partial \psi_j}{\partial \xi_1} + \mu \frac{\partial \psi_j}{\partial \xi_3} \frac{\partial \psi_j}{\partial \xi_1} \right) d\Omega \cdot q_j^{\xi_3} = \int_{\Omega} f_{\xi_i} \psi_j d\Omega + \int_{S_0} p_{\xi_i} \psi_j dS, \quad i = \overline{1, n}, \quad \xi_i = x, y, z \end{aligned}$$



Обратные задачи

$$F(\boldsymbol{\theta}) = \sum_{j=1}^N \left(\varepsilon(\boldsymbol{\theta}, \tilde{x}_j) - \varepsilon_j^* \right)^2 = \sum_{j=1}^N \left(\delta \varepsilon_j(\boldsymbol{\theta}) \right)^2 \rightarrow \min_{\boldsymbol{\theta}} \quad (1)$$

1) В окрестности приближения $\boldsymbol{\theta}^k$ производится линеаризация функции $\delta \varepsilon_j(\boldsymbol{\theta})$

$$\delta \varepsilon_j(\boldsymbol{\theta}) \approx \delta \varepsilon_j(\boldsymbol{\theta}^k) + \sum_i \left. \frac{\partial (\delta \varepsilon_j(\boldsymbol{\theta}))}{\partial \theta_j^k} \right|_{\boldsymbol{\theta}=\boldsymbol{\theta}^k} \Delta \theta_i \quad (2)$$

2) Подставим (2) в (1). Приравняем производные функционала по параметрам к нулю и получим СЛАУ вида $\mathbf{A} \Delta \boldsymbol{\theta} = \mathbf{b}$, где

$$A_{qs} = \sum_{j=1}^k \frac{\partial (\delta \varepsilon_j(\boldsymbol{\theta}^k))}{\partial \theta_q} \frac{\partial (\delta \varepsilon_j(\boldsymbol{\theta}^k))}{\partial \theta_s}, \quad b_q = \sum_{j=1}^k \delta \varepsilon_j(\boldsymbol{\theta}^k) \frac{\partial (\delta \varepsilon_j(\boldsymbol{\theta}^k))}{\partial \theta_q},$$

3) Рассчитываем новое приближение $\boldsymbol{\theta}^{k+1} = \boldsymbol{\theta}^k + \Delta \boldsymbol{\theta}$, и если $F(\boldsymbol{\theta}) > \tau$, то возвращаемся на шаг 2.